

УДК 62-50,621:372

© 2010

Член-корреспондент НАН України А. Е. Божко, В. И. Белых

О динамике линейного электромагнитного виброударного возбуждателя

Наводиться метод вивчення переміщень якоря в лінійному електромагнітному віброударному збуджувачі при вхідних впливах у вигляді прямокутних імпульсів. Ці впливи подано як сингулярні розкладення стрибкоподібної функції.

В данной работе рассматривается электромагнитный виброударный возбуждатель с соленоидным механизмом движения якоря (подвижной платформы) ЭМВ. Такой возбуждатель вибрации и ударов может быть использован в испытательном стенде. Его конструктивная схема приведена на рис. 1, где ПП — подвижная платформа; Я — якорь; Ш — шток; РМ — реактивная масса; М — магнитопровод; К — корпус; Φ_N — фундамент; $\text{Пр}_я$, Пр_r , Пр_c —

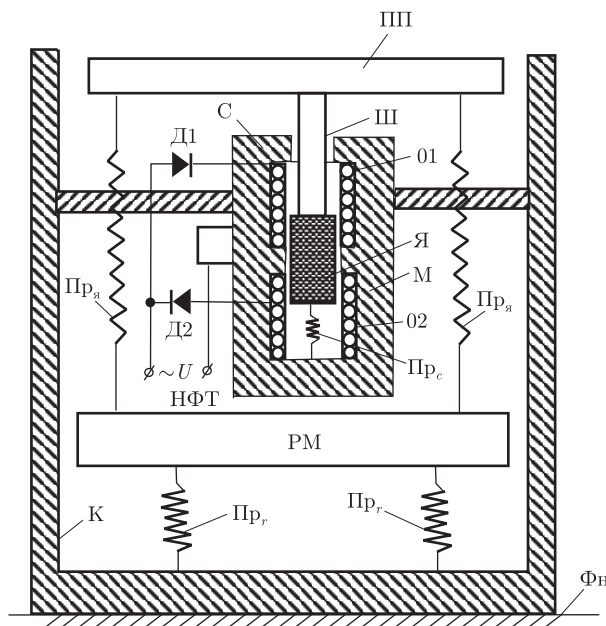


Рис. 1

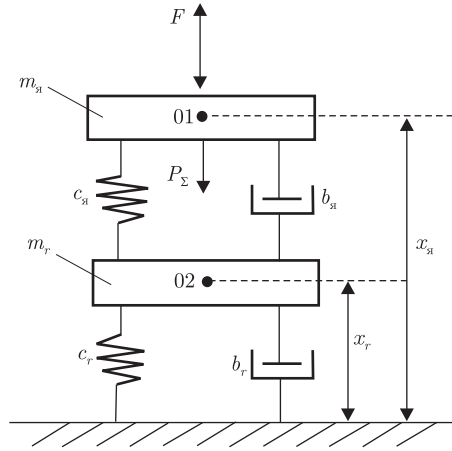


Рис. 2

пружины; С — соленоид; НФТ — неферромагнитная труба; 01, 02 — обмотки; Д1, Д2 — диоды; U — задающее напряжение.

Под действием переменного напряжения $U(t)$, являющегося электродвижущей силой (ЭДС), в каждую полуволну попеременно в обмотках 01 и 02 течет электрический ток $i(t)$, который, в соответствии с законом полного тока [1], наводит в системе магнитопровода соленоида магнитный поток (Φ), обуславливающий создание тяговых усилий $F_1(t)$ и $F_2(t)$ от каждого тока $i_1(t)$ и $i_2(t)$ в обмотках 01 и 02 соответственно.

Обмотки 01 и 02 подключены к $U(t)$ таким образом, что ток $i_1(t)$ наводит магнитный поток $\Phi_1(t)$, который создает тяговое усилие $F_1(t)$, движущее якорь совместно с подвижной платформой вверх. В другую полуволну $U(t)$ тяговое усилие $F_2(t)$ заставляет двигаться ПП совместно с якорем вниз.

Между якорем и внутренней поверхностью неферромагнитной трубы имеется воздушный зазор и поэтому демпфирование в этой системе может быть только за счет трения о воздух витков пружин, но оно мало. В начальном состоянии при отсутствии $U(t)$ под действием весовой P_Σ нагрузки ПП + Я совместно с объектом, прикрепленном к ПП, все пружины сжимаются и подвижная система смещается на величину $x_{0я}$.

Для определения $x_{0я}$ представим на рис. 2 механическую схему ЭМВ, где $m_я$, $m_р$ — массы ПП и РМ соответственно; $c_я$, $b_я$ — коэффициенты жесткости и диссипации соответственно; $x_я$, $x_р$ — перемещения ПП и РМ соответственно; F — тяговое усилие.

Дифференциальное уравнение движения колебательной системы ЭМВ следующее:

$$\left. \begin{aligned} m_я \frac{d^2 x_я}{dt^2} + b_я \frac{dx_я}{dt} + c_я x_я &= F + P_я + b_я \frac{dx_р}{dt} + c_я x_р, \\ m_р \frac{d^2 x_р}{dt^2} + (b_я + b_р) \frac{dx_р}{dt} + (c_я + c_р) x_р &= P_\Sigma + b_я \frac{dx_я}{dt} + c_я x_я. \end{aligned} \right\} \quad (1)$$

При отсутствии F смещения $x_{я0}$ и $x_{р0}$ выражаются зависимостями

$$x_{я0} = \frac{P + c_я x_{р0}}{c_я}, \quad x_{р0} = \frac{P + c_я x_{я0}}{c_я + c_р}. \quad (2)$$

Из (2) получаем

$$\begin{aligned} x_{я0} &= P_{я} \left(\frac{2}{c_r} + \frac{1}{c_{я}} \right) + \frac{P_r}{c_r}, \\ x_{r0} &= \frac{P_{я}}{c_{я} + c_r} \left[1 + c_{я} \left(\frac{2}{c_r} + \frac{1}{c_{я}} \right) + P_r \left(\frac{1}{c_{я} + c_r} + \frac{1}{c_r} \right) \right]. \end{aligned} \quad (3)$$

Переменные движения (вверх — вниз) ПП осуществляются под действием $F_1(t)$ и $F_2(t)$. Поэтому следует определить эти тяговые усилия. Известно [2], что тяговое усилие определяется выражением

$$F = \frac{dW_e}{dx},$$

где $W_e = Li^2/2$ или

$$F_{1,2} = \frac{1}{2} i_{1,2}^2 \frac{dL_{1,2}(x)}{dx_{1,2}}, \quad (4)$$

где W_e — электромагнитная энергия; $L_{1,2}$ — индуктивность одной из обмоток 01, 02 соответственно.

Индуктивность

$$L_{1,2} = W_{1,2}^2 G_{1,2}, \quad (5)$$

где $W_{1,2}$ — число витков в обмотках 01, 02, соответственно; $G_{1,2}$ — магнитная проводимость в ЭМВ при движении ПП вверх и вниз также соответственно.

При движении ПП вверх

$$G_1 = \frac{\mu_0 S}{\delta_0 + l_1 + x_{я0} - x_1}, \quad (6)$$

а при движении ПП вниз

$$G_2 = \frac{\mu_0 S}{\delta_0 + l_2 - x_{я0} + x_1}, \quad (7)$$

где μ_0 — магнитная проницаемость воздуха; S — площадь поперечного сечения обсадной ферромагнитной трубы (ФМТ); δ_0 — воздушные зазоры между ФМТ и якорем; l_1 — начальное расстояние между якорем и верхним торцом ФМТ; l_2 — начальное расстояние между якорем и нижним торцом ФМТ; x_1, x_2 — перемещения вверх и вниз соответственно. Заметим, что $\delta_0 \ll l_1$ и $\delta_0 \ll l_2$. Поэтому в (6) и (7) δ_0 можно не учитывать.

Подставляя (6), (7) в (4) с учетом (5), получим выражения для тяговых усилий F_1 и F_2 в виде

$$F_1 = \frac{1}{2} \mu_0 S \left(\frac{i_1 w_1}{l_1 + x_{20} - x_1} \right)^2, \quad (8)$$

$$F_2 = \frac{1}{2} \mu_0 S \left(\frac{i_2 w_2}{l_2 - x_{20} + x_1 - x_2} \right)^2. \quad (9)$$

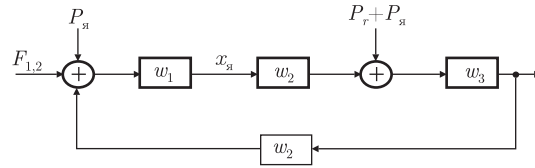


Рис. 3

Из рис. 2, где изображена механическая схема ЭМВ, видно, что подвижная система ЭМВ представляет собой колебательную систему (КС) с двумя степенями свободы. Анализируя уравнения (1), представим структурную схему ПП в виде рис. 3, где w_1 , w_2 , w_3 — передаточные функции вида

$$w_1(p) = \frac{1}{m_я p^2 + b_я p + c_я}; \quad w_2(p) = b_я p + c_я; \quad w_3(p) = \frac{1}{m_r p^2 + (b_я + b_r)p + c_я + c_r};$$

p — оператор Лапласа ($p = d/dt$).

На основании схемы КС (см. рис. 3)

$$x_я = \frac{F_1 w_1}{1 - w_1 w_2^2 w_3} + \frac{P_я w_1 (1 + w_2 w_3)}{1 - w_1 w_2^2 w_3} + P_r \frac{w_1 w_2 w_3}{1 - w_1 w_2^2 w_3}; \quad (10)$$

$$x_r = \frac{F_1 w_1 w_2 w_3}{1 - w_1 w_2^2 w_3} + \frac{P_я w_3 (1 + w_1 w_2)}{1 - w_1 w_2^2 w_3} + \frac{P_r w_3}{1 - w_1 w_2^2 w_3}. \quad (11)$$

Из (10) и (11) получаем

$$\left. \begin{aligned} x_я - x_{я0} &= \frac{F_1 w_1}{1 - w_1 w_2^2 w_3}, \\ x_r - x_{r0} &= \frac{F_1 w_1 w_2 w_3}{1 - w_1 w_2^2 w_3}, \end{aligned} \right\} \quad (12)$$

где $x_{я0}$, $x_{яr}$ определяются выражениями (3), а из (10) и (11) они соответственно равны

$$x_{я0} = \frac{P_я w_1 (1 + w_2 w_3)}{1 - w_1 w_2^2 w_3} + P_r \frac{w_1 w_2 w_3}{1 - w_1 w_2^2 w_3};$$

$$x_{r0} = \frac{P_я w_3 (1 + w_1 w_2)}{1 - w_1 w_2^2 w_3} + \frac{P_r w_3}{1 - w_1 w_2^2 w_3}.$$

Заметим, что в последних выражениях для $x_{я0}$ и x_{r0} в передаточных функциях $w_1(p)$, $w_2(p)$, $w_3(p)$ оператор p не участвует, т. е.

$$w_1 = \frac{1}{c_я}, \quad w_2 = c_я, \quad w_3 = \frac{1}{c_я + c_r}.$$

Из (12) можно найти изображение Лапласа или Карсона

$$x_я(p) - x_{я0} = F_1(p) w_{\Sigma 1}(p), \quad (13)$$

$$x_r(p) - x_{r0} = F_1(p) w_{\Sigma 2}(p), \quad (14)$$

где

$$w_{\Sigma 1}(p) = \frac{w_1(p)}{1 - w_1(p)w_2^2(p)w_3(p)}, \quad (15)$$

$$w_{\Sigma 2}(p) = \frac{w_1(p)w_2(p)w_3(p)}{1 - w_1(p)w_2^2(p)w_3(p)}, \quad (16)$$

а затем, например, по таблицам [3] — оригиналы $x_{\text{я}}(t)$, $x_r(t)$.

Далее рассмотрим движение ПП при входных напряжениях в виде прямоугольных импульсов. Используя сингулярное разложение скачкообразной функции [4], представим прямоугольный импульс напряжения на зажимах обмотки 01, 02 в виде, соответственно,

$$U_1(t) = U_1(1 - e^{-\alpha t}) + U_1 e^{-\alpha t} \sum_{k=1}^n U_{ak} \cos \omega_k t - U_1 [1 - e^{-\alpha(t+\tau)}] - U_1 e^{-\alpha(t+\tau)} \sum_{k=1}^n U_{ak} \cos[\omega_k(t - \tau)], \quad (17)$$

$$U_2(t) = U_2(1 - e^{-\alpha(t+\tau)}) + U_2 e^{-\alpha(t+\tau)} \sum_{k=1}^n U_{ak} \cos[\omega_k(t - \tau)] - U_2 [1 - e^{-\alpha(t+2\tau)}] - U_2 e^{-\alpha(t+2\tau)} \sum_{k=1}^n U_{ak} \cos[\omega_k(t - 2\tau)], \quad (18)$$

где α — коэффициент затухания; τ — длительность импульса; U_1, U_2 — величина импульсов; $\sum_{k=1}^n U_{ak} = 1$; $U_{a1} = 1/\pi$; $U_{ak} = U_{a1}/k$; $k = \omega_k/\omega_1$; $\omega_k, k = \overline{1, n}$, — частоты затухающих гармоник, $n \approx 12$.

Представленные в виде (17), (18) прямоугольные импульсы подаются на зажимы обмоток 01, 02 соответственно и в цепи этих обмоток возникают токи $i_1(t)$ и соответственно $i_2(t)$. Эти токи находятся из уравнений

$$(17) = R_1 i_1 + \frac{d}{dt}[L_1 i_1], \quad (19)$$

$$(18) = R_2 i_2 + \frac{d}{dt}[L_2 i_2], \quad (20)$$

где R_1, R_2 — активные сопротивления соответствующих обмоток 01 и 02; L_1, L_2 — их индуктивности.

С учетом принятых допущений

$$L_1 = \mu_0 S W_1^2 \frac{1}{l_1 + x_{20} - x_1(t)}, \quad (21)$$

$$L_2 = \mu_0 S W_2^2 \frac{1}{l_2 - x_{20} + x_{1\tau} - x_2(t - \tau)}, \quad (22)$$

где $x_{1\tau}$ — величина x_1 при $t = \tau$; W_1, W_2 — число витков 01 и 02 соответственно.

Из (21), (22) видно, что $l_1 + x_{20} \gg x_{1\tau}$, $l_2 - x_{20} + x_{1\tau} \gg x_2(t - \tau)$ и это дает право не учитывать L_1 и L_2 как функции, зависящие от t . Тогда уравнения (19), (20) примут вид

$$(17) = R_1 i_1 + L_1 \frac{di_1}{dt}, \quad (18) = R_2 i_2 + L_2 \frac{di_2}{dt}. \quad (23)$$

Как было отмечено в (13), (14), нахождение $x_{\alpha}(p)$ и $x_{\tau}(p)$ можно осуществить в операционном виде [1, 5] с использованием передаточных функций (15), (16). В (13), (14) тяговые усилия $F_1(p)$ и $F_2(p)$ представлены в операционной форме. Из (8), (9) получим

$$F_1(p) = p \int_0^{\infty} F_1(t) e^{-pt} dt = pa_1 \int_0^{\infty} i_1^2(t) e^{-pt} dt, \quad (24)$$

$$F_2(p) = p \int_0^{\infty} F_2(t) e^{-pt} dt = pa_2 \int_0^{\infty} i_2^2(t) e^{-pt} dt, \quad (25)$$

где

$$a_1 \approx \frac{1}{2} \mu_0 S \left(\frac{W_1}{l_1 + x_{20}} \right)^2, \quad a_2 \approx \frac{1}{2} \mu_0 S \left(\frac{W_2}{l_2 - x_{20} + x_{1\tau}} \right).$$

На основании (24), (25) будем находить $i_1(t)$ и $i_2(t)$ из (23). Заметим, что решение (23) относительно токов i_1 и i_2 аналогично. При этом учтем, что передний фронт напряжения (18) совпадает со спадом напряжения (17), а затем наоборот. А это значит, что, с точки зрения облегчения процедуры решения, целесообразно определять токи $i_1(t)$ и $i_2(t)$ при входных воздействиях, подключаемых к обмоткам 01 и 02 в виде

$$U_1(t) = U_1(1 - e^{-\alpha t}) + U_1 e^{-\alpha t} \sum_{k=1}^n U_{ak} \cos \omega_k t,$$

$$U_2(t) = U_2[1 - e^{-\alpha(t+\tau)}] + U_2 e^{-\alpha(t+\tau)} \sum_{k=1}^n U_{ak} \cos[\omega_k(t - \tau)].$$

Предлагаем еще одно упрощение при нахождении $i_2(t)$, а именно: можно абстрагироваться от сдвига времени τ и находить $i_2(t)$ при начале импульса $U_2(t)$ при $t = 0$ для этого момента. И так в каждый полупериод входного воздействия. Тогда при идентичности параметров электроцепей обмоток 01 и 02 токи $i_1(t) = i_2(t)$. Поэтому осуществим решение одного уравнения, считая $U_1 = U_2 = U$, вида

$$U(1 - e^{-\alpha t}) + U e^{-\alpha t} \sum_{k=1}^n U_{ak} \cos \omega_k t = Ri + L \frac{di}{dt}. \quad (26)$$

Используя операционное исчисление Карсона [3], уравнение (26) представим в виде

$$U \left[\frac{\alpha}{p + \alpha} + \sum_{k=1}^n \frac{U_{ak} p(p + \alpha)}{(p + \alpha)^2 + \omega_k^2} \right] = I(p)(R + Lp),$$

откуда

$$I(p) = \frac{U}{L(p+\beta)} \left[\frac{\alpha}{p+\alpha} + \sum_{k=1}^n \frac{U_{ak}p(p+\alpha)}{(p+\alpha)^2 + \omega_k^2} \right],$$

или

$$I(p) = \frac{U}{L} \left\{ \frac{\alpha}{(p+\alpha)(p+\beta)} + \sum_{k=1}^n \frac{U_{ak}p^2}{(p+\beta)[(p+\alpha)^2 + \omega_k^2]} + \sum_{k=1}^n \frac{U_{ak}\alpha p}{(p+\beta)[(p+\alpha)^2 + \omega_k^2]} \right\}, \quad (27)$$

где $\beta = R/L$ – коэффициент затухания в RL цепи.

Оригинал $i(t)$, соответствующий изображению $I(p)$ в виде (27), следующий (определен по таблицам [3]):

$$i(t) = \frac{U}{L} \left\langle \frac{1}{\beta} + \frac{\alpha}{\alpha - \beta} \left(\frac{1}{\alpha} e^{-\alpha t} - \frac{1}{\beta} e^{-\beta t} \right) + \sum_{k=1}^n \frac{U_{ak}}{(\alpha - \beta)^2 + \omega_k^2} \times \right. \\ \left. \times \left\{ e^{-\beta t} (1 - \beta) + \frac{e^{-\alpha t}}{\omega_k} [\omega_k (\beta - 1) \cos \omega_k t + (\omega_k^2 - \alpha^2 + \beta - \alpha - \alpha\beta) \sin \omega_k t] \right\} \right\rangle. \quad (28)$$

Представим (8) и (9) в виде

$$F_l = a_l i^2(t), \quad l = 1, 2, \quad (29)$$

где

$$a_1 = \frac{1}{2} \mu_0 S \left(\frac{W_1}{l_1 + x_{20} - x_1} \right)^2, \quad a_2 = \frac{1}{2} \mu_0 S \left(\frac{W_2}{l_2 - x_{20} + x_1 - x_2} \right)^2,$$

и подставим в (29) выражение (28). В результате получим

$$F_l(t) = a_l (28)^2, \quad l = 1, 2. \quad (30)$$

Анализируя (30) с учетом (28) применительно к системе (1), предварительно видим, что затухающие колебания $U e^{-\alpha t} \sum_{k=1}^n U_{ak} \cos \omega_k t$ сопроводили соответствующие затухающие колебания тока $i(t)$, что, в свою очередь, обусловили также затухающие колебания с частотами $\omega_k, 2\omega_k, k = \overline{1, n}$, тягового усилия $F_l(t)$. Заметим, что коэффициент затухания α значительно больше коэффициента затухания β . Для краткости и облегчения решения задачи, не умаляя существа основной динамики якоря ЭМВ, исключая начальные затухающие колебания, примем $\alpha = \infty$. Тогда

$$i(t) = \frac{U}{R} (1 - e^{-\beta t})$$

и

$$F_l(t) = a_l \frac{U^2}{R^2} (1 - e^{-\beta t})^2 = a_l \left(\frac{U}{R} \right)^2 (1 - 2e^{-\beta t} + e^{-2\beta t}).$$

В операционном виде $F_l(p)$ описывается выражением

$$F_l(p) = a_l \left(\frac{U}{R} \right)^2 \left(1 - \frac{2p}{p + \beta} + \frac{p}{p + 2\beta} \right). \quad (31)$$

Подставим его в (12). Получим

$$x_{я}(p) - x_{я0} = a_l \left(\frac{U}{R} \right)^2 \left(1 - \frac{2p}{p + \beta} + \frac{p}{p + 2\beta} \right) \times \\ \times \frac{m_r p^2 + (b_{я} + b_r)p + c_{я} + c_r}{(m_{я} p^2 + b_{я} p + c_{я})[m_r p^2 + (b_{я} + b_r)p + c_{я} + c_r] - (b_{я} p + c_{я})^2}, \quad (32)$$

$$x_r(p) - x_{r0} = a_l \left(\frac{U}{R} \right)^2 \left(1 - \frac{2p}{p + \beta} + \frac{p}{p + 2\beta} \right) \times \\ \times \frac{b_{я} p + c_{я}}{(m_{я} p^2 + b_{я} p + c_{я})[m_r p^2 + (b_{я} + b_r)p + c_{я} + c_r] - (b_{я} p + c_{я})^2}. \quad (33)$$

Далее, используя метод простых дробей [3], определим оригиналы $x_{я}(t)$ и $x_r(t)$. Облегчим решение задачи путем игнорирования составляющей в знаменателях (32), (33) $(b_{я} p + c_{я})^2$. Это оправдано тем, что $(b_{я} p + c_{я})^2 = b_{я}^2 p^2 + 2b_{я} c_{я} p + c_{я}^2 \approx c_{я}^2$, так как коэффициент $b_{я} \ll 1$. Уменьшение величины членов с коэффициентом $c_{я}$ с учетом члена $(-c_{я}^2)$ можно учесть в том же знаменателе, исключив в сомножителе $[m_r p^2 + (b_{я} + b_r)p + c_{я} + c_r]$ величину $c_{я}$.

Перейдем к определению оригиналов $x_{я}(t)$ и $x_r(t)$. Для этого из (32), (33) с учетом принятого допущения составим суммы простых дробей для каждого слагаемого в виде (здесь пока $a_l(U/R)^2$ опустим)

$$\frac{A_{я1} p + B_{я1}}{m_{я} p^2 + b_{я} p + c_{я}} + \frac{c_{я1} p + D_{я1}}{m_r p^2 + (b_{я} + b_r)p + c_r} = \Psi_{я}, \\ \frac{A_{я2} p + B_{я2}}{m_{я} p^2 + b_{я} p + c_{я}} + \frac{c_{я2} p + D_{я2}}{m_r p^2 + (b_{я} + b_r)p + c_r} + \frac{E_{я2}}{p + \beta} = -2p\Psi_{я}, \quad (34)$$

$$\frac{A_{я3} p + B_{я3}}{m_{я} p^2 + b_{я} p + c_{я}} + \frac{c_{я3} p + D_{я3}}{m_r p^2 + (b_{я} + b_r)p + c_r} + \frac{E_{я3}}{p + 2\beta} = p\Psi_{я}, \\ \frac{A_{r1} p + B_{r1}}{m_{я} p^2 + b_{я} p + c_{я}} + \frac{c_{r1} p + D_{r1}}{m_r p^2 + (b_{я} + b_r)p + c_r} = \Psi_r, \\ \frac{A_{r2} p + B_{r2}}{m_{я} p^2 + b_{я} p + c_{я}} + \frac{c_{r2} p + D_{r2}}{m_r p^2 + (b_{я} + b_r)p + c_r} + \frac{E_{r2}}{p + \beta} = -2p\Psi_r, \quad (35)$$

где $\Psi_{я}$, Ψ_r — вторые сомножители в (32), (33), соответственно, равные передаточным функциям в (12), также соответственно.

Оригиналы изображений (34), (35) имеют вид

$$\begin{aligned}
 x_\varepsilon(t) - x_{\varepsilon 0} = a_l \left(\frac{U}{R} \right)^2 & \left\{ E_{\varepsilon 2} \frac{1}{\beta} (1 - e^{-\beta t}) + E_{\varepsilon 3} \frac{1}{2\beta} (1 - e^{-2\beta t}) + \right. \\
 & + \left[\frac{1}{m_\varepsilon \omega_{0\varepsilon}} (A_{\varepsilon 1} + A_{\varepsilon 2} + A_{\varepsilon 3}) - \frac{b_\varepsilon}{2m_\varepsilon \omega_{02} c_\varepsilon} (B_{\varepsilon 1} + B_{\varepsilon 2} + B_{\varepsilon 3}) \right] e^{-\frac{b_\varepsilon}{2m_\varepsilon} t} \sin \omega_{0\varepsilon} t + \\
 & + \left[\frac{1}{m_r \omega_{0r}} (C_{\varepsilon 1} + C_{\varepsilon 2} + C_{\varepsilon 3}) - \frac{b_\varepsilon + b_r}{2m_r \omega_{02} c_r} (D_{\varepsilon 1} + D_{\varepsilon 2} + D_{\varepsilon 3}) \right] e^{-\frac{b_\varepsilon + b_r}{2m_r} t} \sin \omega_{0r} t + \\
 & \left. + \left[\frac{1}{c_\varepsilon} (B_{\varepsilon 1} + B_{\varepsilon 2} + B_{\varepsilon 3}) e^{-\frac{b_\varepsilon t}{2m_\varepsilon}} \cos \omega_{0\varepsilon} t + \frac{1}{c_r} (D_{\varepsilon 1} + D_{\varepsilon 2} + D_{\varepsilon 3}) \right] e^{-\frac{b_\varepsilon + b_r}{2m_r} t} \cos \omega_{0r} t \right\}, \quad (36)
 \end{aligned}$$

где

$$\varepsilon = \text{я}, r; \quad \omega_{0\varepsilon} = \sqrt{\frac{c_\varepsilon}{m_\varepsilon} - \left(\frac{b_\varepsilon}{2m_\varepsilon} \right)^2}; \quad \omega_{0r} = \sqrt{\frac{c_r}{m_r} - \left(\frac{b_\varepsilon + b_r}{2m_r} \right)^2}.$$

Коэффициенты $A_{\varepsilon s}$, $B_{\varepsilon s}$, $C_{\varepsilon s}$, $D_{\varepsilon s}$, $E_{\varepsilon s}$, $s = \overline{1,3}$, $\varepsilon = \text{я}, r$, определяются из системы уравнений (34), (35). Как видно из (36), перемещения $x_\varepsilon(t)$ и $x_r(t)$ состоят из совокупности экспоненциально нарастающих составляющих с коэффициентами затухания β , 2β и экспоненциально затухающих осциллирующих составляющих с коэффициентами затухания $b_\varepsilon/(2m_\varepsilon)$ и $(b_\varepsilon + b_r)/(2m_r)$ и составными частотами $\omega_{0\varepsilon}$ и ω_{0r} .

Заметим еще раз, что затухающие колебания в сингулярном представлении $U(t)$ в виде $U e^{-\alpha t} \sum_{k=1}^n U_{ak} \cos \omega_k t$, проникнув в тяговое усилие $F(t)$, вызывают затухающие колебания с коэффициентом затухания α якоря в начальный период его движения. Эти колебания якоря, раскачивая его, способствуют началу движения, которое подхватывается действием $F(t)$, выражаемое в виде (30) при $\alpha = \infty$.

Таким образом, в результате данного исследования разработан метод нахождения перемещений подвижной системы электромагнитного линейного виброударного возбудителя. Причем принято, что входные управляющие воздействия, являясь прямоугольными импульсами, представляются в виде сингулярного разложения скачкообразной функции. Как известно [4], такое представление входных скачкообразных воздействий позволяет учитывать зоны нечувствительности электроцепей обмоток 01, 02, которые влияют на время начала движения якоря в ЭМВ. Задержка движения во времени равна примерно $4,6 \cdot 1/\alpha$.

1. Бессонов Л. А. Теоретические основы электротехники. – Москва: Высш. шк., 1978. – 528 с.
2. Ряшенцев Н. П., Ковалев Ю. З. Динамика электромагнитных импульсных систем. – Новосибирск: Наука, 1974. – 188 с.
3. Гинзбург С. Г. Методы решения задач по переходным процессам в электрических цепях. – Москва: Сов. радио, 1959. – 404 с.
4. Божко А. Е. Аргументированная детализация новой концепции о переходных процессах в электроцепях // Доп. НАН України. – 2007. – № 6. – С. 81–87.

Институт проблем машиностроения
им. А. Н. Подгорного НАН Украины, Харьков

Поступило в редакцию 13.06.2008

Corresponding Member of the NAS of Ukraine **A. E. Bozhko, V. I. Belykh**

On the dynamics of a linear electromagnetic vibrostroke exciter

The method to determine a displacement of the rotor in a linear electromagnetical vibrostroke exciter with the influence of input rectangular impulses is given. This influence is presented in the form of the singularisnal expansion of a jump-like function.